

Ковалев Лев Кузьмич окончил факультет «Энергомашиностроение» МВТУ им. Баумана в 1964 г. и механико-математический факультет МГУ в 1968 г. В 1996 г. защитил докторскую диссертацию по авиационно-космической электроэнергетике в МАИ. Профессор, заведующий кафедрой «Электроэнергетические, электромеханические и биотехнические системы» МАИ.

Ковалев Константин Львович окончил в 1993 г. факультет «Экспериментальная и теоретическая физика» Московского инженерно-физического инсти-

тута. В 2005 г. защитил докторскую диссертацию по сверхпроводниковым электрическим машинам. Профессор, ведущий научный сотрудник кафедры «Электроэнергетические, электромеханические и биотехнические системы» МАИ.

Тулинова Екатерина Евгеньевна окончила факультет «Системы управления, информатика и электроэнергетика» МАИ в 2011 г. Инженер кафедры «Электроэнергетические, электромеханические и биотехнические системы» МАИ.

* * *

Разработка численно-аналитических моделей управляемых шунтирующих реакторов с подмагничиванием

КАРПОВ В.Н., КИСЕЛЕВ А.Н.

Представлены численно-аналитические модели управляемых подмагничиванием шунтирующих реакторов (УШРП) двух конструкций. Разработана численно-аналитическая модель УШРП с учётом бронестержневого магнитопровода. Проанализировано влияние боковых ярм магнитопровода на параметры расчёта. Разработана аналитическая модель для расчёта установившегося режима работы УШРП. Выполнено сопоставление расчётных зависимостей с результатами системных испытаний.

Ключевые слова: энергосистема, управляемый реактор, модели, расчёт установившегося режима

Управляемые подмагничиванием шунтирующие реакторы (УШРП) являются устройствами компенсации реактивной мощности и регулирования напряжения, включаемыми непосредственно в сеть высокого напряжения. Управление реактивной мощностью, потребляемой УШРП, осуществляется путём изменения степени подмагничивания магнитопровода постоянным магнитным потоком, создаваемым током вентильного преобразователя, работающего на стороне низшего напряжения (НН) УШРП.

К настоящему времени в энергосистемах России и ближнего зарубежья эксплуатируются реакторы с подмагничиванием двух конструкций: УШРП с отдельной обмоткой подмагничивания [1] и УШРП без отдельной обмотки подмагничивания [2]. В литературе встречаются описания математических моделей УШРП с отдельной обмоткой подмагничивания, основанных на разных способах представления цифровых моделей реактора [3, 4]. Авторами статьи разработаны численно-аналитические модели УШРП, базирующиеся на общем

Numerical-analytic models of two designs of bias-controlled shunt reactors (BCSRs) are presented. A numeric-analytic model of a BCSR with a five-legged magnetic core is developed. The influence of the magnetic core lateral yokes on the calculation parameters is analyzed. An analytical model for calculating steady-state operating conditions of a BCSR is developed. The calculation dependences are compared with the results of system tests.

Key words: power system, controlled reactor, models, calculation of steady-state operating conditions

принципе моделирования и подходящие для цифрового представления реакторов обеих конструкций различной степени детализации [5, 6]. Для верификации разработанных моделей использовались результаты системных испытаний УШРП 500 кВ с отдельной обмоткой подмагничивания [7].

Принципиальная электрическая схема УШРП 500 кВ с отдельной расщеплённой обмоткой подмагничивания показана на рис. 1. В отличие от схем реакторов низших классов напряжения, имеющих отдельную компенсационную обмотку (КО) и трёхфазный полупроводниковый преобразователь (ПП), в данной схеме используются комбинированная обмотка управления (ОУ), совмещающая в себе функции КО, и три однофазных ПП. В этом случае преобразователи подключаются через однофазные промежуточные трансформаторы (ОМП) между средними эквипотенциальными точками секций ОУ каждого из двух стержней магнитопроводов фаз реактора, а фазы ОУ соединяются в треугольник. Сетевая обмотка (СО) фазы данного УШРП охватывает оба стержня с потенциальным

вводом в середине обмотки. На схеме 3хРОДУ-60000/500 кВ – электромагнитная часть реактора типа РТУ-180000/500 пофазного исполнения; ТА1–ТА8 встроенные трансформаторы тока; ЗТМ – заземляющий трехфазный трансформатор с токоограничивающим реактором (ТОР) в каждой фазе и встроенными трансформаторами тока ТА9–ТА11; САУ – система автоматического управления; ШС – шкаф вторичных соединений показан условно, для пофазного РТУ шкафы управления (вторичных соединений) расположены на баке каждой фазы РОДУ.

Дополнительно устанавливаемое оборудование, не входящее в комплект поставки: выключатели B_{CO} – сетевой; B_{Oy} – обмотки управления (пофазноуправляемый, нормально отключен, применяется в специально оговоренных случаях: гашение тока дуги в паузе ОАПВ или при кратковременной двукратной перегрузке реактора по мощности); B_{TM3} – трехполюсный выключатель (нормально отключен); трансформаторы напряжения: TV1 – шин 500 кВ; TV2 35 кВ – обмотки управления. (На схеме не указаны ограничители перенапряжений (ОПН) на стороне 500 и 35 кВ.)

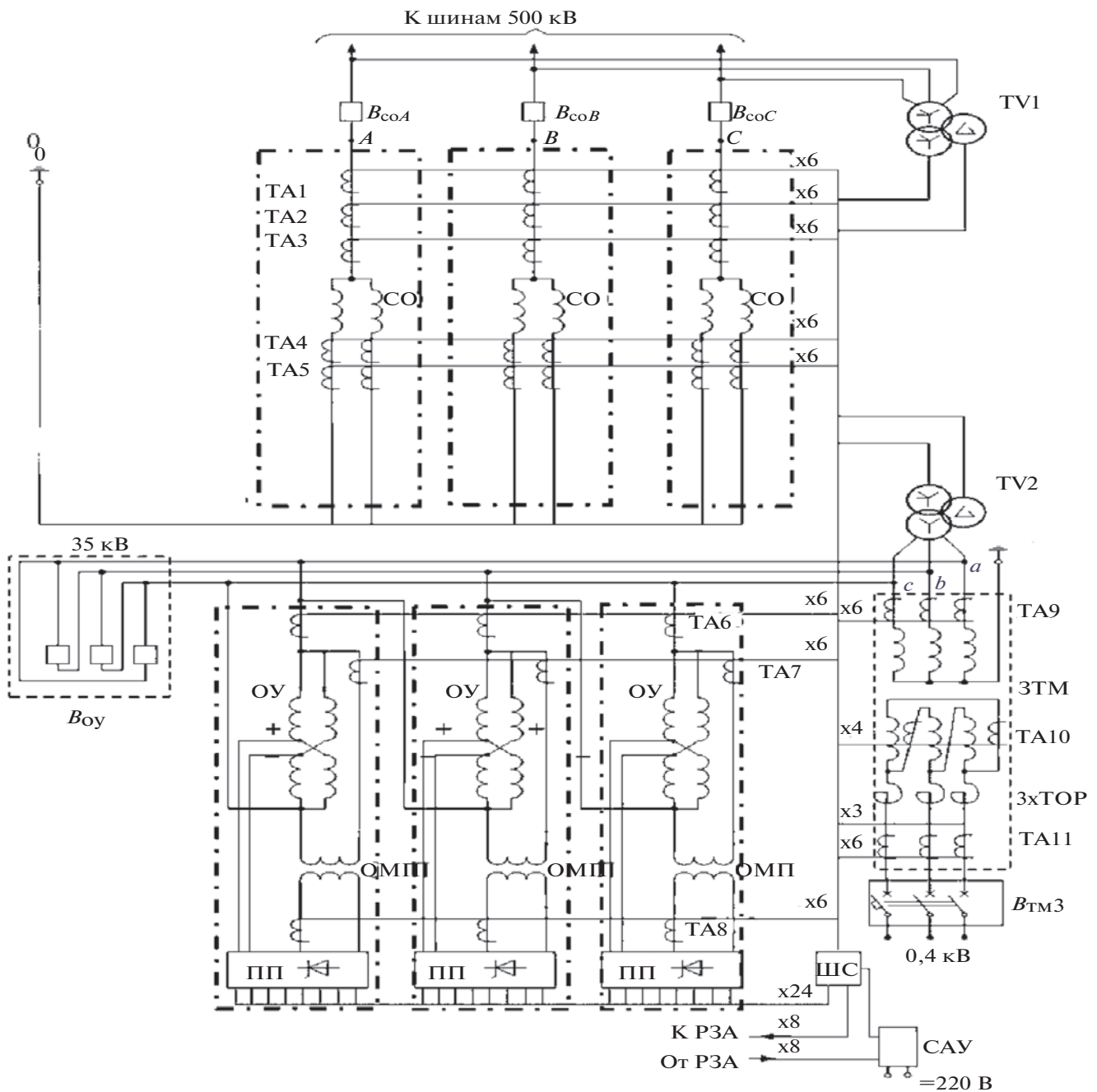


Рис. 1. Принципиальная схема УШРП 500 кВ с отдельной расщеплённой обмоткой подмагничивания: - * – фазы А, В и С электромагнитной части реактора; ---- – отдельно стоящее силовое оборудование (ТМЗ и ТОР в одном баке, шунтирующий выключатель 35 кВ)

В соответствии с общепринятым представлением магнитного потока обмоток на ферромагнитном сердечнике в виде потока рассеяния и потока в сердечнике [8] индуктивности обмоток УШРП представляются в виде суммы двух составляющих: $L = L_{\Sigma} + L_{CT}$, обусловленных магнитным потоком рассеяния L_{Σ} и магнитным потоком в стержне магнитопровода L_{CT} . При работе УШРП в отличие от неуправляемых реакторов или силовых трансформаторов используется область насыщения кривой намагничивания стали, что приводит к нелинейной зависимости значений L_{CT} от тока.

Дифференциальное уравнение, описывающее электромагнитные процессы в обмотке реактора:

$$L di / dt + Ri = u, \tag{1}$$

где L , R , i и u – индуктивность, активное сопротивление, ток и напряжение обмотки соответственно.

В схеме замещения УШРП его обмотки можно представить в виде управляемых источников тока (рис. 2,а). Математическую модель УШРП можно создать, представив каждую из секций обмоток реактора управляемым источником тока. Однако подобный подход приводит к возникновению особых разрезов (разрезов, все ветви которых представляют собой источники тока). К тому же, при общепринятом допущении о параллельности силовых линий магнитного поля стержню в пределах окна магнитопровода [8] и расположении одинаковых секций обмотки (с собственными индуктивностями $L_1 = L_2 = L$) на стержне одна под другой, в любой момент времени с каждой из них сцепляется один

и тот же магнитный поток и коэффициент их магнитной связи K равен единице. Тогда значение взаимной индуктивности таких секций обмотки будет равно их собственным индуктивностям

$$|M_{12}| = K \sqrt{L_1 L_2} = L \tag{2}$$

и дифференциальные уравнения таких секций будут линейно зависимыми.

Наличие особых разрезов в схеме замещения электрической цепи и алгебраические связи между отдельными уравнениями, обусловленные (2), приводят к тому, что система дифференциальных уравнений, описывающая электромагнитные процессы в УШРП, является вырожденной, что, в свою очередь, ведёт к невозможности или высокой сложности получения численного решения подобной системы непосредственно.

В результате для применения стандартных пакетов прикладных программ моделирования электрических цепей требуется выполнение предварительных аналитических преобразований системы дифференциальных уравнений реактора, т.е. разработка численно-аналитических моделей УШРП.

Математические модели УШРП. Электрическая схема замещения фазы УШРП 500 кВ с отдельной расщеплённой обмоткой подмагничивания показана на рис. 3. Одноимённые зажимы обозначены звёздочками и применена следующая система индексов: первый индекс соответствует типу обмотки (сетевая – «с», управления – «у», компенсационная – «к»); второй – стержню магнитопровода (первый – «I», второй – «II»); третий – секции обмотки данного стержня (первая – «1», вторая – «2»).

Система дифференциальных уравнений, описывающая электромагнитные процессы в фазе УШРП, записанная в матричной форме, согласно принятым условно-положительным направлениям токов будет иметь вид, аналогичный (1):

$$L' di / dt + R' i = u, \tag{3}$$

где $L = \begin{bmatrix} L_c & M_I & M_I & -M_{II} & -M_{II} \\ M_I & L_{yI} & M_{II2} & 0 & 0 \\ M_I & M_{II2} & L_{yI} & 0 & 0 \\ -M_{II} & 0 & 0 & L_{yII} & M_{II2} \\ -M_{II} & 0 & 0 & M_{II2} & L_{yII} \end{bmatrix}$

$R = \begin{bmatrix} R_c/2 & 0 & 0 & 0 & 0 \\ 0 & R_y & 0 & 0 & 0 \\ 0 & 0 & R_y & 0 & 0 \\ 0 & 0 & 0 & R_y & 0 \\ 0 & 0 & 0 & 0 & R_y \end{bmatrix}$

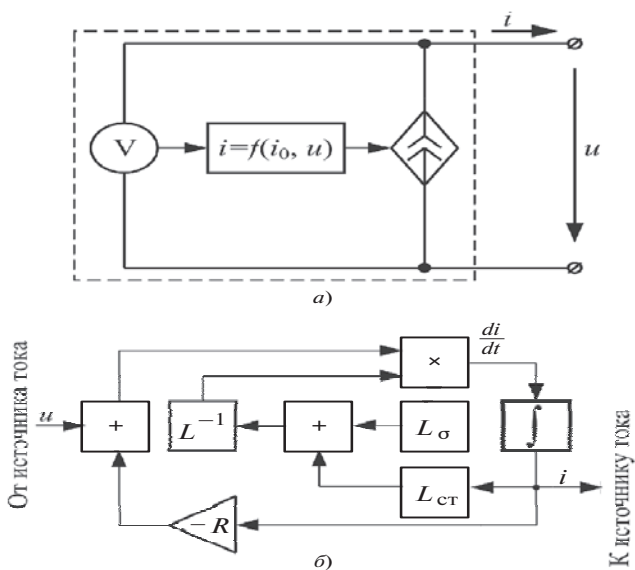


Рис. 2. Расчётная схема замещения (а) и структурная схема представления дифференциального уравнения обмотки УШРП в операторной форме (б)

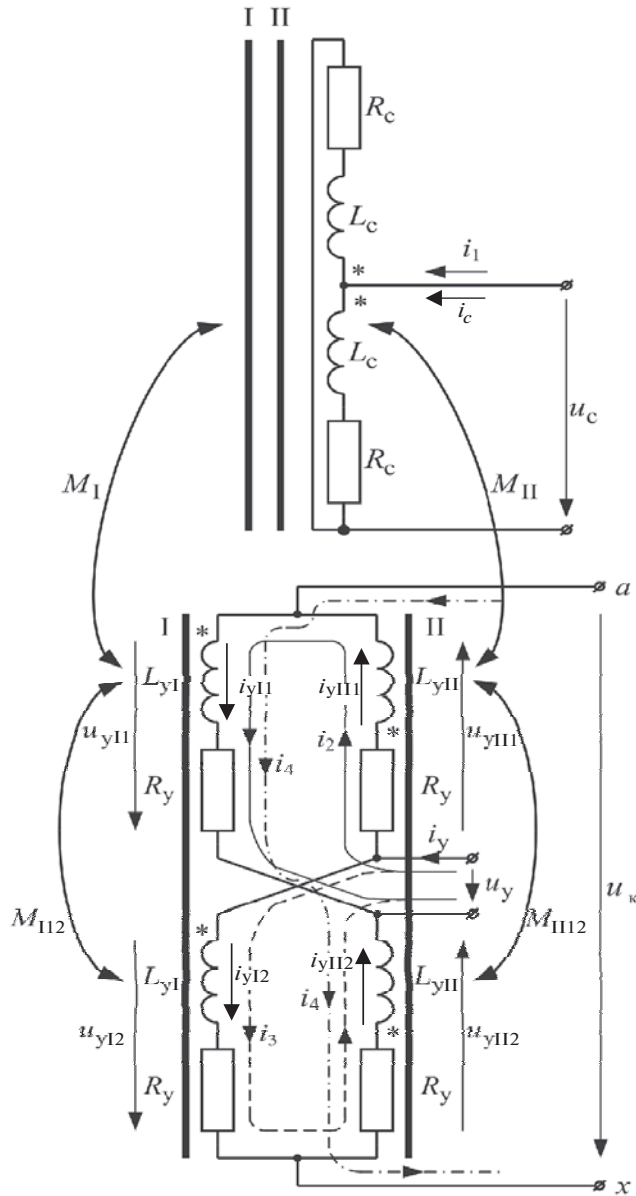


Рис. 3. Электрическая схема замещения фазы УШРП с отдельной расщеплённой обмоткой подмагничивания: ----, * — контурные токи

С учётом (2) $|M_{II2}| = L_{yI}$, $|M_{II12}| = L_{yII}$, и система становится вырожденной с рангом 3. Использование системы контурных токов (см. рис. 3) для данной системы даёт возможность перейти от пяти переменных к четырём. Исключить ещё одну линейно зависимую переменную позволяет преобразование уравнений с учётом соотношений между напряжениями секций обмоток реактора:

$$\begin{aligned} u_{yI1} + u_{yII1} &= u_y; \\ u_{yI2} + u_{yII2} &= u_y; \\ u_{yI1} - u_{yII2} &= u_k. \end{aligned} \tag{4}$$

В результате система дифференциальных уравнений с пятью переменными

$(i_c, i_{yI1}, i_{yI2}, i_{yII1}, i_{yII2})$ преобразуется к системе дифференциальных уравнений с тремя независимыми переменными (i_1, i_2, i_4) и алгебраическому уравнению связи $i_3 = i_2 + i_4$ (составляющие преобразованной системы уравнений приведены в приложении – (П-1)).

В большинстве методов численного интегрирования дифференциальных уравнений, а также в современных средствах цифрового моделирования процессов в электрических цепях используется запись уравнений (систем уравнений) в стандартной форме Коши:

$$di/dt = L^{-1} \cdot (u - R \cdot i).$$

Для перехода к данной форме записи требуется обращение матрицы индуктивностей L . Однако преобразованная система дифференциальных уравнений УШРП является плохо обусловленной (число обусловленности по спектральной норме может достигать 10^5). Численное обращение подобных матриц приводит к необходимости многократного увеличения точности расчёта на каждом шаге и резкому росту погрешности и времени расчёта. Аналитические методы обращения не применимы для плохо обусловленных систем.

Использование системы контурных токов (см. рис. 3) с учётом соединения фаз ОУ в треугольник (рис. 1) позволяет представить составляющие совместной системы уравнений трёх фаз УШРП в виде блочных матриц с окаймлением [9] (составляющие системы уравнений приведены в приложении (П-2)). В этом случае задача определения обратной матрицы индуктивностей совместной системы L (размерностью 7×7) с помощью формулы Фробениуса сводится к задаче определения обратной блочно-диагональной матрицы A , состоящей из трёх матриц (размерностью 2×2 с числом обусловленности по спектральной норме около 10^3), и к алгебраическим операциям с матрицами:

$$L^{-1} = \frac{1}{4\tilde{H}\tilde{e}} \begin{bmatrix} \tilde{e} & & & & & & \\ & 4\tilde{H}\tilde{A}^{-1} & & & & & \\ & & 2\tilde{B}\tilde{C} & & & & \\ & & & \tilde{A}^{-1} & & & \\ & & & & & & \\ & & & & & & \\ & & & & & & \tilde{u} \end{bmatrix} - 2\tilde{B}\tilde{C} \begin{bmatrix} & & & & & & \\ & & & & & & \\ & & & & & & \\ & & & & & & \\ & & & & & & \\ & & & & & & \\ & & & & & & \tilde{u} \end{bmatrix}$$

Помимо возможности использования аналитических методов обращения уменьшение числа обусловленности способствует увеличению устойчивости и точности численного решения системы дифференциальных уравнений, а также уменьшению времени расчёта.

Математическая модель УШРП с учётом бронестержневого магнитопровода. Для определения влияния на электромагнитные процессы в УШРП боковых ярм магнитопровода и распределения по нему составляющих магнитного потока была разра-

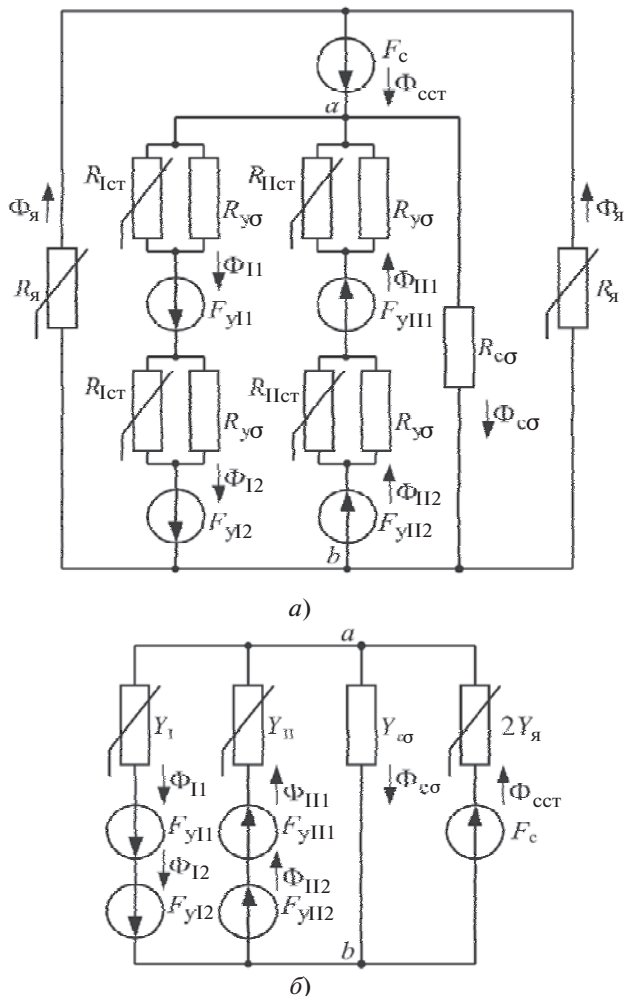


Рис. 4. Электрическая схема замещения магнитной системы фазы УШРП с отдельной расщеплённой обмоткой подмагничивания: а – исходная; б – преобразованная

ботана математическая модель фазы УШРП 500 кВ с отдельной расщеплённой ОУ с подробным представлением магнитной системы (рис. 4,а).

Одной из основных характеристик магнитопроводов является кривая намагничивания стали. Кусочно-линейная аппроксимация этой кривой позволяет определить дискретные значения относительной магнитной проницаемости на каждом линейном интервале (рис. 5,а) и получить кусочно-линейную зависимость $\mu_r = f(H)$ (рис. 5,б).

При подобном подходе точность аппроксимации напрямую определяется шагом дискретизации, т.е. числом используемых опорных точек, и появляется возможность применения методов анализа линейных цепей применительно к каждому из линейных участков.

Свернув схему на рис. 4,а к виду по рис. 4,б для каждого линейного участка аппроксимации кривой намагничивания с помощью метода наложения и эквивалентного генератора, можно записать систему уравнений по второму закону Кирхгофа для магнитной цепи:

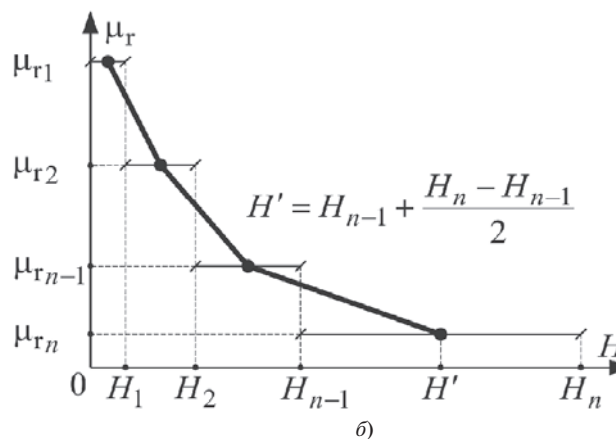
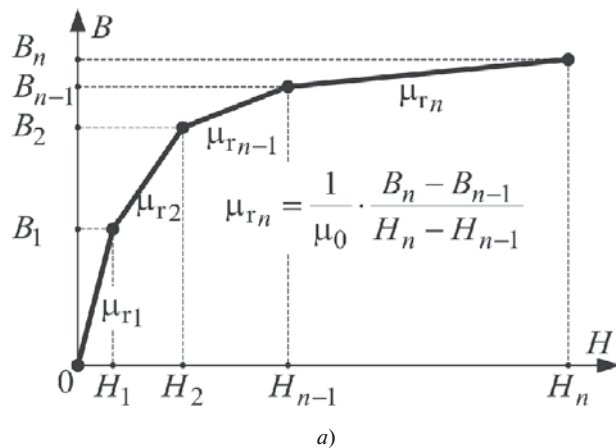


Рис. 5. К получению кусочно-линейной зависимости $\mu_r = f(H)$ стали магнитопровода

$$\begin{matrix} \hat{e} F_{c,ст} \\ \hat{e} F_{I1} \\ \hat{e} F_{I2} \\ \hat{e} F_{II1} \\ \hat{e} F_{II2} \end{matrix} \begin{matrix} \hat{u} \\ \hat{u} \\ \hat{u} \\ \hat{u} \\ \hat{u} \end{matrix} = \begin{matrix} \hat{e} Y_c & Y_{c-yI} & Y_{c-yI} & -Y_{c-yII} & -Y_{c-yII} \\ Y_{c-yI} & Y_{yI} & Y_{I-2I} & Y_{I-II} & Y_{I-II} \\ Y_{c-yI} & Y_{I-2I} & Y_{yI} & Y_{I-II} & Y_{I-II} \\ -Y_{c-yII} & Y_{I-II} & Y_{I-II} & Y_{yII} & Y_{I-2II} \\ -Y_{c-yII} & Y_{I-II} & Y_{I-II} & Y_{I-2II} & Y_{yII} \end{matrix} \begin{matrix} \hat{u} \\ \hat{u} \\ \hat{u} \\ \hat{u} \\ \hat{u} \end{matrix}$$

$$\begin{matrix} \hat{e} F_c \\ \hat{e} F_{yI1} \\ \hat{e} F_{yI2} \\ \hat{e} F_{yII1} \\ \hat{e} F_{yII2} \end{matrix} \begin{matrix} \hat{u} \\ \hat{u} \\ \hat{u} \\ \hat{u} \\ \hat{u} \end{matrix} \tag{6}$$

где $Y_c = 2Y_я(Y_I + Y_{II} + Y_{cs})/Y_S$;
 $Y_{yI} = Y_I(Y_{II} + Y_{cs} + 2Y_я)/Y_S$;
 $Y_{yII} = Y_{II}(Y_I + Y_{cs} + 2Y_я)/Y_S$;
 $Y_{I-II} = Y_I Y_{II} / Y_S$; $Y_{c-yI} = 2Y_я Y_I / Y_S$;
 $Y_{c-yII} = 2Y_я Y_{II} / Y_S$; $Y_S = Y_I + Y_{II} + Y_{cs} + 2Y_я$;
 $Y_{I-2I} = Y_{yI}$; $Y_{I-2II} = Y_{yII}$; $Y_{cs} = m_0 S_p / l$;
 $Y_я = m_0 m_{ряк} S_я / l$; $Y_I = m_0 (m_{rIk} S_{ст} + S_{yS}) / l$;

$Y_{II} = m_0(m_{rIIk}S_{ст} + S_{ys})/l$ – собственные и взаимные магнитные проводимости ветвей; $S_p = S_{cs} - S_{ys}$ – площадь межобмоточного канала рассеяния; S_{cs} и S_{ys} – площади рассеяния СО и ОУ соответственно; $S_я$ – площадь поперечного сечения бокового ярма; $m_{ряk}$, m_{rIk} , m_{rIIk} – относительные магнитные проницаемости бокового ярма и стержней в k -й точке кривой намагничивания соответственно; l – высота стержня (бокового ярма) магнитопровода; m_0 – магнитная постоянная.

Подстановка (6) в закон электромагнитной индукции с учётом падений напряжения на активных сопротивлениях обмоток позволяет получить систему уравнений, аналогичную (3) как по виду, так и по числу переменных (составляющие данной системы уравнений приведены в приложении (П-4)). Используя систему контурных токов с учётом (4), данную систему легко преобразовать в систему дифференциальных уравнений с тремя независимыми переменными и алгебраическое уравнение связи, аналогичные по виду таковым для случая математической модели без учёта бронестержневого магнитопровода (составляющие преобразованной системы приведены в приложении (П-5)). Тогда для обоих этих случаев можно использовать одну и ту же математическую модель с введением в неё дополнительных составляющих собственных индуктивностей секций ОУ (M_{I-II}), обусловленных взаимоиндуктивной связью при учёте боковых ярм магнитопровода УШРП.

В цепи рис. 4,б всего два узла, и систему нелинейных уравнений легко можно свести к одному уравнению с помощью следующих выражений:

$$\begin{cases} \dot{I} F_{с.ст} = H2B[F_c - U_{mab}]/l^2 S_я; \\ \dot{I} F_{Iст} = H2B[F_{I1} + F_{I2} + U_{mab}]/l^2 S_{ст}; \\ \dot{I} F_{IIст} = H2B[F_{II1} + F_{II2} + U_{mab}]/l^2 S_{ст}; \\ \dot{I} F_{cs} = m_0 S_{cs} U_{mab}/l; \\ \dot{I} F_{Is} = m_0 S_{ys} (F_{I1} + F_{I2} + U_{mab})/l; \\ \dot{I} F_{IIs} = m_0 S_{ys} (F_{II1} + F_{II2} + U_{mab})/l, \end{cases} \quad (7)$$

где $H2B$ – функция, определяющая по заданной кривой намагничивания индукцию в стали магнитопровода в зависимости от напряжённости магнитного поля; U_{mab} – магнитное напряжение между точками a и b магнитопровода.

Подставив (7) в первый закон Кирхгофа для магнитной цепи, записанный относительно узла a , получим нелинейное уравнение с одной переменной U_{mab} :

$$H2B[F_c - U_{mab}]/l^2 S_я - (H2B[F_{I1} + F_{I2} + U_{mab}]/l) -$$

$$- H2B[F_{II1} + F_{II2} + U_{mab}]/l^2 S_{ст} - \frac{m_0}{l} \cdot \\ \cdot [(F_{I1} + F_{I2} - F_{II1} - F_{II2})S_{ys} + (S_{cs} + 2S_{ys})U_{mab}] = 0.$$

Решение этого уравнения на каждом шаге интегрирования позволяет находить мгновенные значения относительной магнитной проницаемости стержней и ярм магнитопровода, необходимые для расчёта индуктивностей обмоток, а также распределение магнитных потоков.

Анализ влияния учёта боковых ярм магнитопровода на точность расчёта переходных процессов в УШРП был выполнен сопоставлением ряда расчётов на цифровых моделях различной детализации. Относительная разница между амплитудными и действующими значениями токов и напряжений, рассчитанными на моделях с учётом и без учёта боковых ярм магнитопровода не превысила 1%. В качестве примера приведём результаты расчёта переходного процесса сброса реактивной мощности с номинального значения до значения, соответствующего холостому ходу (х.х.) длительно-стью 1 с. В этом случае амплитудные значения сетевого тока фазы A в первом и последнем колебаниях без учёта в модели боковых ярм магнитопровода составляют приблизительно 295,1 и 234,9 А, а с их учётом – 295,4 и 233,6 А соответственно. При этом расчёт во втором случае занимает примерно в 43 раза большее время, чем в первом. Из этого следует, что целесообразно не учитывать в математических моделях УШРП боковые ярма магнитопровода и допустимо представлять отдельные его стержни магнитно-независимыми.

Аналитическая модель для установившихся режимов работы УШРП. Под аналитической моделью установившегося режима УШРП понимаются аналитические выражения временных зависимостей токов и напряжений обмоток реактора, записанные в параметрической форме относительно состояния насыщения стержней магнитопровода, позволяющие получать кривые токов и напряжений любого установившегося режима УШРП.

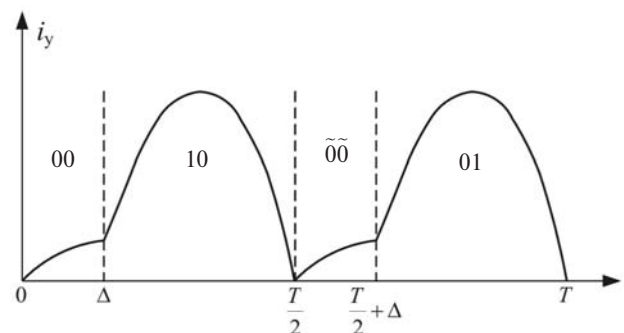


Рис. 6. Разбивка периода напряжения сети на характерные временные интервалы

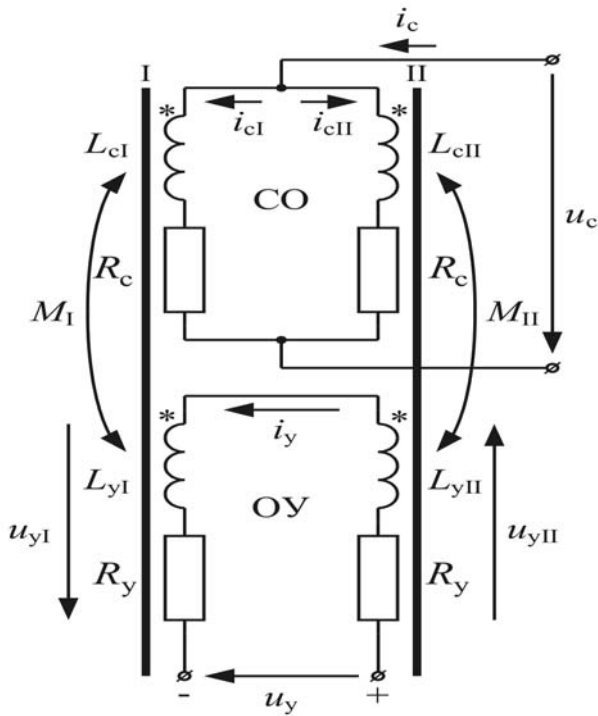


Рис. 7. Принципиальная схема УШРП с отдельной нерасщеплённой ОУ (КО не показана)

Для разработки аналитической модели примем, что кривая намагничивания стали состоит из двух линейных участков. Тогда при работе фазы УШРП стержни её магнитопровода могут пребывать в насыщенном или ненасыщенном состояниях в зависимости от значений переменного и постоянного магнитных потоков. По результатам анализа работы УШРП 500 кВ в различных режимах с помощью расчётных цифровых моделей и данных системных испытаний было установлено, что каждая смена магнитных состояний стержней происходит через интервал времени, в течение которого обе секции находятся в ненасыщенном состоянии. Размер этого интервала времени уменьшается от $T/2$ до близкого к нулю значения по мере изменения режима работы УШРП от х.х. до номинального. Введём параметр D , равный интервалу пребывания обеих секций расщеплённого стержня УШРП в ненасыщенном состоянии. Тогда период напряжения сети можно разбить на четыре участка в соответствии с характерными магнитными состояниями стержней (рис. 6) и ввести следующую систему индексов:

- не насыщены оба стержня – $00, t \hat{I} (0;D)$;
- насыщен первый стержень и ненасыщен второй – $10, t \hat{I} (D;T/2)$;
- не насыщены оба стержня – $\tilde{00}, t \hat{I} (T/2;T/2+D)$;
- не насыщен первый и насыщен второй стержень – $01, t \hat{I} (T/2+D;T)$.

Аналитическая модель установившегося режима УШРП была разработана для реактора 500 кВ с отдельной нерасщеплённой ОУ и расщеплённой СО (схема применяется в наиболее современных конструкциях УШРП 220 кВ и выше) без учёта КО (рис. 7). В случае иной схемной реализации УШРП изменится лишь вид аналитических функций при неизменности используемого подхода.

Напряжение сети представим в виде $u_c(t) = U_{cm} \sin(\omega t + \gamma)$, где $\omega = 2\pi / T$ – круговая частота; γ – фазовый сдвиг относительно сетевого тока. Напряжение $u_y(t)$, прикладываемое к ОУ, примем постоянным. Высокая добротность УШРП позволяет пренебречь активными сопротивлениями секций СО.

Система дифференциальных уравнений, описывающая электромагнитные процессы в схеме рис. 7, без учёта R_c :

$$\begin{cases} \dot{i}_{cI} = \frac{u_c}{L_{cI}} - \frac{M_I}{L_{cI}} \dot{i}_y; \\ \dot{i}_{cII} = \frac{u_c}{L_{cII}} - \frac{M_{II}}{L_{cII}} \dot{i}_y; \\ (L_{yI} + L_{yII}) \dot{i}_y + M_I \dot{i}_{cI} - M_{II} \dot{i}_{cII} + 2R_y i_y = u_c, \end{cases} \quad (8)$$

откуда легко получить уравнение относительно тока ОУ:

$$\begin{aligned} \frac{\partial}{\partial t} (L_{yI} + L_{yII}) \dot{i}_y + \frac{M_I^2}{L_{cI}} \dot{i}_y - \frac{M_{II}^2}{L_{cII}} \dot{i}_y + 2R_y i_y = \\ = u_y + \frac{\partial}{\partial t} \left(\frac{M_{II}}{L_{cII}} - \frac{M_I}{L_{cI}} \right) u_c. \end{aligned} \quad (9)$$

При ненасыщенном состоянии обоих стержней собственные и взаимные индуктивности секций обмоток будут одинаковыми и выражение (9) примет вид

$$L_{\text{ЭКВ}0} \dot{i}_{y0} / dt + R_{\text{ЭКВ}} i_{y0} = E_{\text{ЭКВ}0}, \quad (10)$$

где $L_{\text{ЭКВ}0} = 2(L_{y0} - M_0^2 / L_{c0})$; $R_{\text{ЭКВ}0} = 2R_y$; $E_{\text{ЭКВ}0} = u_y$; L_{c0} , L_{y0} и M_0 – собственные и взаимные индуктивности секций обмоток УШРП при ненасыщенном состоянии стержней.

Аналогичным образом выражение (9) записывается для случая одного насыщенного и одного ненасыщенного стержней УШРП:

$$L_{\text{ЭКВ}1} \dot{i}_{y1} / dt + R_{\text{ЭКВ}} i_{y1} = E_{\text{ЭКВ}1}, \quad (11)$$

где $L_{\text{ЭКВ}1} = L_{y1} + L_{y0} - M_1^2 / L_{c1} - M_0^2 / L_{c0}$;

$E_{\text{ЭКВ1}} = u_y \pm (M_0 / L_{c0} - M_1 / L_{c1}) u_c$; L_{c1} , L_{y1} и M_1 – собственные и взаимные индуктивности секций обмоток УШРП, соответствующие насыщенному состоянию одного из стержней.

В выражении для $E_{\text{ЭКВ1}}$ «минусу» соответствует второй полупериод напряжения сети u_c (противоположной полярности), поэтому выражение для $E_{\text{ЭКВ1}}$ не зависит от того, какой из стержней находится в насыщенном состоянии, а период пульсаций тока ОУ составляет половину периода напряжения сети. Поэтому на периоде тока ОУ можно выделить всего два характерных интервала, отвечающих ненасыщенному состоянию обоих стержней (индекс 0) и переходу одного из стержней в насыщенное состояние (индекс 1) соответственно.

Уравнения (10) и (11) для каждого из линейных участков кусочно-линейной кривой намагничивания стали являются линейными неоднородными первого порядка. Общее решение этого типа уравнений записывается в виде

$$i_{yk}(t) = i_{yk}(t_0)e^{-\frac{R_{\text{ЭКВ}k}}{L_{\text{ЭКВ}k}}(t-t_0)} + \frac{1}{L_{\text{ЭКВ}k}} \int_{t_0}^t E_{\text{ЭКВ}k}(t) e^{-\frac{R_{\text{ЭКВ}k}}{L_{\text{ЭКВ}k}}(t-t_0-t)} dt, \quad (12)$$

где индекс k соответствует одному из характерных состояний магнитной системы (0 или 1); t_0 – начальная точка области определения соответствующей функции.

В случае ненасыщенного состояния стержней (12) принимает вид

$$i_{y0}(t) = i_y(0)e^{-\frac{R_{\text{ЭКВ}0}}{L_{\text{ЭКВ}0}}t} + \frac{u_y}{R_{\text{ЭКВ}0}} \left[1 - e^{-\frac{R_{\text{ЭКВ}0}}{L_{\text{ЭКВ}0}}t} \right], \quad (13)$$

где за начало отсчёта $i_y(t)$ был принят нулевой момент времени ($t_0 = 0$).

Аналогичным образом выражение для тока управления при одном насыщенном и одном ненасыщенном стержнях записывается как

$$i_{y1}(t) = i_{y0}(D)e^{-\frac{R_{\text{ЭКВ}1}}{L_{\text{ЭКВ}1}}(t-D)} + \frac{u_y}{R_{\text{ЭКВ}1}} \left[1 - e^{-\frac{R_{\text{ЭКВ}1}}{L_{\text{ЭКВ}1}}(t-D)} \right] - \frac{R_{\text{ЭКВ}1}}{L_{\text{ЭКВ}1}} D e^{-\frac{R_{\text{ЭКВ}1}}{L_{\text{ЭКВ}1}}(t-D)} - K m_1 U_{cm} e^{-\frac{R_{\text{ЭКВ}1}}{L_{\text{ЭКВ}1}}(t-D)} \{ \cos(\omega t + y) - m_0 \sin(\omega t + y) - [a_1(D) \cos(y) - a_2(D) \sin(y)] e^{-\frac{R_{\text{ЭКВ}1}}{L_{\text{ЭКВ}1}}(t-D)} \}, \quad (14)$$

а среднее за период значение тока ОУ можно определить интегрированием (13) и (14) в пределах (0, D) и (D, T/2) соответственно:

$$I_{y,\text{cp}}(D) = \frac{2}{T} \int_0^D i_{y1}(t) dt + \frac{u_y}{R_{\text{ЭКВ}}} \left[\int_D^{T/2} i_{y1}(t) dt + \int_0^D i_{y0}(t) dt \right] + \frac{K m_1 U_{cm}}{p} \{ [1 + a_1(D) - a_2(D) a_5(D)] \sin(y) + [m_0 + a_2(D) + a_1(D) a_5(D)] \cos(y) \} e^{-\frac{R_{\text{ЭКВ}1}}{L_{\text{ЭКВ}1}} D} \quad (15)$$

(соотношения для определения элементов $a_{1,2,\dots}$, m_0 , m_1 , K , K_0 , K_1 и $i_{y1}(t_0)$ в (14) и (15) приведены в приложении (П-6)).

Интегрирование первых двух уравнений системы в пределах от t_0 до t позволяет получить общее выражение для токов секций СО:

$$i_{cI,IIj}(t) = i_{cI,IIj}(t_0) - \frac{U_{cm}}{\omega L_{c_j}} [\cos(\omega t + y) - \cos(\omega t_0 + y)] \pm K_j [i_{yz}(t) - i_{yz}(t_0)], \quad (16)$$

где разность/сумма соответствуют секциям СО первого/второго стержней соответственно; j определяется магнитным состоянием соответствующего стержня (0,1); $z=1$ – при насыщении одного из стержней на данном интервале времени и $z=0$ – в противном случае.

На втором полупериоде напряжения сети для функций тока ОУ в (16) следует использовать временной сдвиг вправо по оси абсцисс на $T/2$.

На основании (16) нетрудно записать выражения для токов секций СО на всех четырёх интервалах периода сети (см. приложения), а чередование магнитных состояний стержней с периодичностью $T/2$ ($i_{cI}(D) = -i_{cII}(T/2 + D)$ или $i_{cI}(T/2) = -i_{cII}(T)$) позволяет определить связь начальных значений токов секций СО:

$$i_{cI}(0) + i_{cII}(0) = -2U_{cm} \cos(y) / \omega L_{c0}. \quad (17)$$

Подстановка (17) в (П-7) для токов секций СО с учётом условия $i_c = i_{cI} + i_{cII}$ приводит к исключению начальных значений токов секций СО и записи функций сетевого тока УШРП для четырёх временных интервалов периода напряжения сети в следующем виде:

$$\begin{aligned}
 i_{c00}(t) &= -2 \frac{U_{cm}}{\omega L_{c0}} \cos(\omega t + y); \\
 i_{c10}(t) &= -\frac{U_{cm}}{\omega L_{c0} L_{c1}} [(L_{c0} + L_{c1}) \cos(\omega t + y) - (L_{c0} - L_{c1}) \cos(\omega D + y)] + K[i_{y1}(t) - i_{y0}(D)]; \\
 i_{c00}(t) &= -\frac{U_{cm}}{\omega L_{c0} L_{c1}} [2L_{c1} \cos(\omega t + y) - (L_{c0} - L_{c1}) \cos(\omega D + y) - (L_{c0} - L_{c1}) \cos(y)] - K[i_{y0}(D) - i_y(0)]; \\
 i_{c01}(t) &= -\frac{U_{cm}}{\omega L_{c0} L_{c1}} [(L_{c0} + L_{c1}) \cos(\omega t + y) - (L_{c0} - L_{c1}) \cos(y)] - K[i_{y1}(t) - \frac{T}{2} \ddot{i}_y(0)].
 \end{aligned}
 \tag{18}$$

Из условия периодичности функций тока секций СО ($i_{cI}(T) = i_{cI}(0)$ или $i_{cII}(T) = i_{cII}(0)$) можно получить выражение для напряжения на выводах ОУ реактора в зависимости от параметра D, представляющее собой сумму двух составляющих: напряжения подмагничивания и пульсаций напряжения, обусловленных трансформаторной связью с СО УШРП:

$$\begin{aligned}
 u_y = R_{\text{ЭКВ}} i_y(0) + R_{\text{ЭКВ}} m_2 U_{cm} [\cos(\omega D + y) + \cos(y)] / a_6(D),
 \end{aligned}
 \tag{19}$$

где $m_2 = (L_{c0} - L_{c1}) / \omega L_{c0} L_{c1}$;

$a_6(D) = K[1 - \exp(-R_{\text{ЭКВ}} D / L_{\text{ЭКВ}})]$.

Подстановка (19) в условие периодичности функции тока ОУ ($i_y(T/2) = i_y(0)$) приводит к следующему уравнению:

$$A(D) \sin(y) - B(D) \cos(y) = C(D) i_y(0)
 \tag{20}$$

(выражения для A(D), B(D) и C(D) см. (П-8) приложения).

Значение функции C(D) на всей области определения не превосходит $1,8 \cdot 10^{-14} \text{ В}^{-1}$. Подобным значением вполне правомерно пренебречь. Тогда фаза у будет определяться лишь магнитными состояниями стержней магнитопровода:

$$y = \arctg(B(D) / A(D)).
 \tag{21}$$

В любом установившемся режиме работы УШРП средневыпрямленное значение тока ОУ (совпадающее со средним за период значением тока ОУ) $I_{y, \text{ср}} = f_y(D, i_y(0))$ должно соответствовать приведённому к низшей стороне средневыпрямленному значению тока СО $I_{c, \text{ср}} = n_{\text{ТР}} f_c(D, i_y(0))$. Тогда зависимость тока подмагничивания $i_y(0)$ от D можно найти в результате численной минимизации следующей разностной функции:

$$x(D, i_y(0)) = n_{\text{ТР}} f_c(D, i_y(0)) - f_y(D, i_y(0)) \text{ или}$$

$$x(D, i_y(0)) = n_{\text{ТР}} \frac{1}{T} \int_0^T \dot{i}_c(t) dt - I_{y, \text{ср}}(D).
 \tag{22}$$

Хорошее приближение даёт аппроксимация зависимости $i_y(0)$ от $i_y(0)$ многочленом четвёртой степени со следующими коэффициентами: $a_0 = 869,1$; $a_1 = -2,104 \cdot 10^5$; $a_2 = 1,142 \cdot 10^7$; $a_3 = 6,593 \cdot 10^8$; $a_4 = -5,436 \cdot 10^{10}$.

Зависимость напряжения подмагничивания $u_{\text{ПДМ}} = R_{\text{ЭКВ}} i_y(0)$ от параметра D, построенная с помощью полученных выражений, показана на рис. 8.

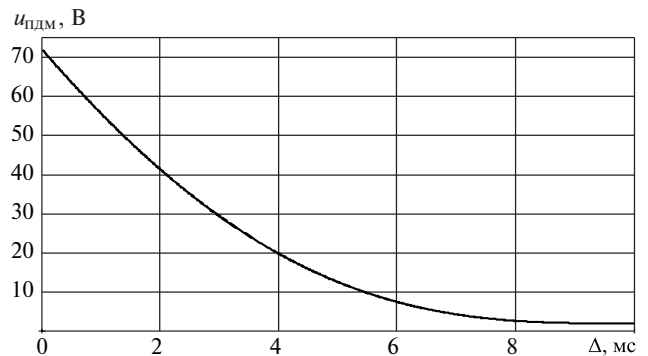


Рис. 8. Зависимость напряжения подмагничивания УШРП от параметра D

Нулевому значению D соответствует режим работы УШРП, характеризующийся мгновенной сменой магнитных состояний стержней, не реализуемый на практике в реальном устройстве. Для определения значения D, соответствующего номинальному режиму работы реактора, была рассчитана зависимость действующего значения основной гармоники тока СО УШРП $I_c(1)$ от напряжения подмагничивания $u_{\text{ПДМ}}$. Амплитуда и фаза $I_c(1)$ были определены численно через коэффициенты разложения $i_c(t)$ в тригонометрический ряд Фурье:

$$A_{1m} = \sqrt{B_{1m}^2 + C_{1m}^2}; \quad f_1 = \arctg(C_{1m}^2 / B_{1m}^2),$$

где $B_{1m}^2 = \frac{2}{T} \int_0^T \dot{i}_c(t) \sin(\omega t) dt$; $C_{1m}^2 = \frac{2}{T} \int_0^T \dot{i}_c(t) \cos(\omega t) dt$.

При заданных параметрах УШРП номинальному режиму работы реактора соответствует $D_{\text{ном}} \approx 550 \text{ мкс}$. Зависимости $i_y(t)$ и $i_c(t)$ УШРП в этом режиме представлены на рис. 9. Наличие площадок в кривой сетевого тока в окрестностях пересечений его оси абсцисс объясняется использованием кривой намагничивания с ярко выраженным изломом, что приводит к несколько завышенному содержанию высших гармонических составляющих в сетевом токе реактора. По результатам системных испытаний УШРП 500 кВ с отдельной расщеплённой ОУ подобные площадки в кривой тока СО также присутствуют, но более сглажены.

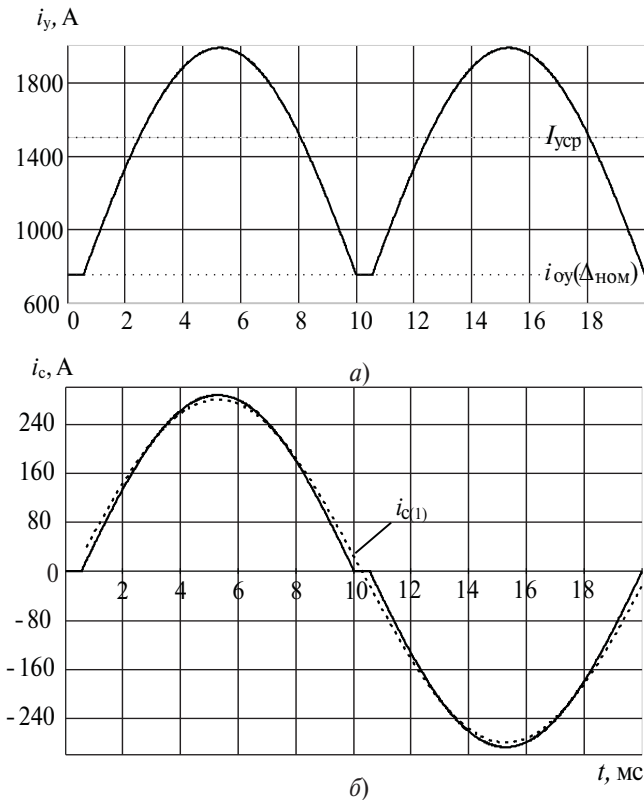


Рис. 9. Ток управления (а) и сетевой ток (б) УШРП в номинальном режиме работы

Результаты численного моделирования и сопоставление с экспериментальными данными. На основе разработанных моделей УШРП в программном комплексе Matlab\Simulink были реализованы цифровые расчётные модели, с помощью которых осуществлено численное моделирование различных режимов работы УШРП.

Для верификации разработанных моделей УШРП было выполнено сопоставление расчётных зависимостей с результатами системных испытаний реактора аналогичной конструкции [7] в одних и тех же режимах, из которого следует, что во всём диапазоне изменения реактивной мощности реактора наблюдается хорошее соответствие расчётных и экспериментальных зависимостей. Некоторое расхождение кривых отмечается лишь в режимах, близких к х.х., когда в сетевых токах УШРП преобладают высшие гармонические составляющие, точный учёт которых возможен лишь при подробном представлении ПП в модели реактора и точном воспроизведении режима сети.

На основе данных установившихся режимов работы УШРП были рассчитаны экспериментальная и расчётная регулировочные характеристики реактора (зависимости действующих значений сетевого тока УШРП от средневыпрямленных значений тока стороны НН ОМП), представленные на рис. 10. На графике построена также зависимость

$I_C(1)$ от напряжения подмагничивания $u_{ПДМ}$, полученная с помощью аналитической модели установившегося режима работы УШРП. При расчёте относительных значений тока ОМП и напряжения $u_{ПДМ}$ за базисные значения были приняты ток и напряжение, соответствующие номинальному режиму работы реактора.

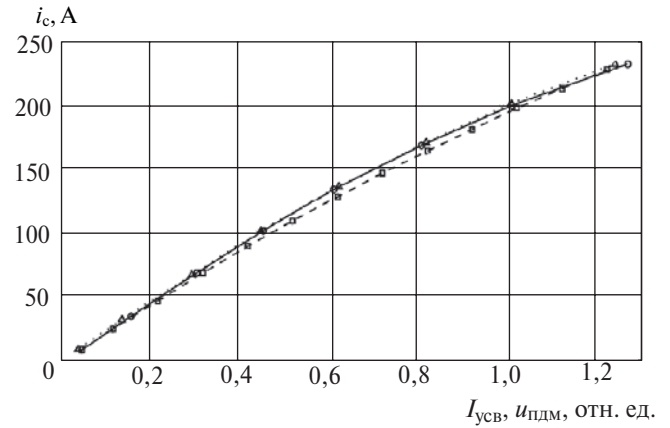


Рис. 10. Зависимость действующего значения сетевого тока УШРП 500 кВ с отдельной расщеплённой ОУ от средневыпрямленного значения тока/напряжения управления: \circ — эксперимент; Δ — расчет по цифровой модели; \square — то же по аналитической

С помощью цифровых моделей УШРП 500 кВ с отдельной расщеплённой ОУ были рассчитаны процессы включения реактора на х.х. с предварительным подмагничиванием и без него с непосред-

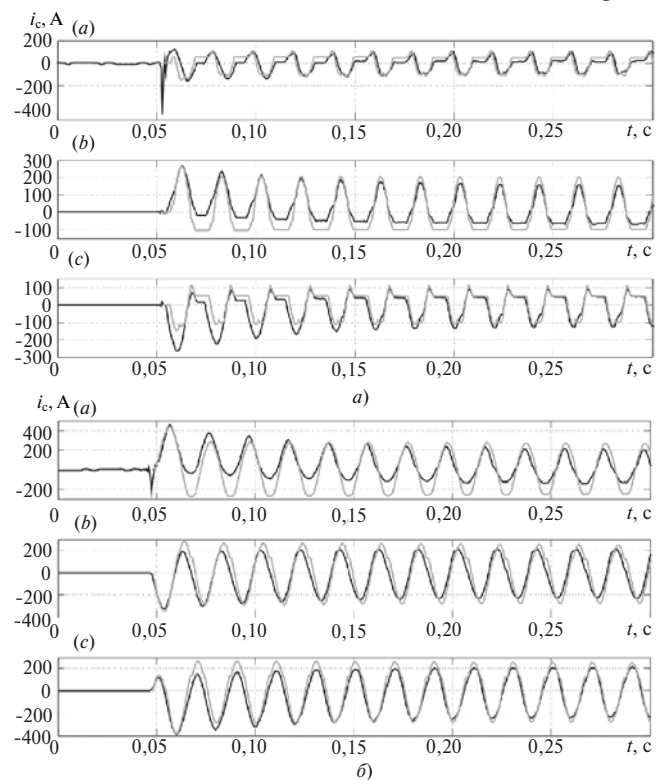


Рис. 11. Мгновенные значения сетевого тока УШРП 500 кВ с отдельной расщеплённой ОУ при его включении на х.х.: а — без предварительного подмагничивания; б — с предварительным подмагничиванием

ственным заданием уставки (без учёта регулятора САУ). Экспериментальные и расчётные осциллограммы сетевых токов УШРП для данных режимов представлены на рис. 11 (— расчётные кривые).

Как видно из рис. 11, отличие экспериментальных зависимостей от расчётных в данном случае наблюдается в основном лишь в значениях апериодической составляющей. Этот факт можно объяснить использованием в измерительной схеме при проведении системных испытаний УШРП электромагнитных трансформаторов тока, искажающих сигналы с апериодической составляющей.

Приложение. Составляющие преобразованной с помощью выражения и ввода системы контурных токов системы дифференциальных уравнений фазы УШРП 500 кВ с отдельной расщеплённой обмоткой подмагничивания:

$$\begin{aligned}
 \mathbf{L} &= \begin{bmatrix} \hat{e} L_c & 2(M_I - M_{II}) & 2M_I \\ \hat{e} M_I - M_{II} & 2(L_{yI} + L_{yII}) & 2L_{yI} \\ \hat{e} M_I + M_{II} & 2(L_{yI} - L_{yII}) & 2L_{yI} \end{bmatrix} \mathbf{i} = \begin{bmatrix} \hat{e} i_1 \\ \hat{e} i_2 \\ \hat{e} i_3 \end{bmatrix} \\
 \mathbf{R} &= \begin{bmatrix} \hat{e} R_c/2 & 0 & 0 \\ \hat{e} 0 & 2R_y & R_y \\ \hat{e} 0 & 0 & R_y \end{bmatrix} \mathbf{u} = \begin{bmatrix} \hat{e} u_c \\ \hat{e} u_y \\ \hat{e} u_k \end{bmatrix} \quad (\text{П-1})
 \end{aligned}$$

Составляющие совместной системы дифференциальных уравнений трёх фаз УШРП 500 кВ с отдельной расщеплённой обмоткой подмагничивания с учётом соединения фаз ОУ в треугольник, представленные в виде блочных матриц с окаймлением:

$$\begin{aligned}
 \tilde{\mathbf{L}} &= \begin{bmatrix} \hat{e} A_a & 0 & 0 & \mathbf{B}_a \\ \hat{e} 0 & A_b & 0 & \mathbf{B}_b \\ \hat{e} 0 & 0 & A_c & \mathbf{B}_c \\ \hat{e} \mathbf{C}_a & \mathbf{C}_b & \mathbf{C}_c & \mathbf{D}_a + \mathbf{D}_b + \mathbf{D}_c \end{bmatrix} \\
 \tilde{\mathbf{R}} &= \begin{bmatrix} \hat{e} R\phi & 0 & 0 & \mathbf{R}\phi \\ \hat{e} 0 & R\phi & 0 & \mathbf{R}\phi \\ \hat{e} 0 & 0 & R\phi & \mathbf{R}\phi \\ \hat{e} 0 & 0 & 0 & 3R_y \end{bmatrix} \mathbf{i} = \begin{bmatrix} \hat{e} i_a \\ \hat{e} i_b \\ \hat{e} i_c \\ \hat{e} i_4 \end{bmatrix} \mathbf{u} = \begin{bmatrix} \hat{e} u_a \\ \hat{e} u_b \\ \hat{e} u_c \\ \hat{e} 0 \end{bmatrix} \quad (\text{П-2})
 \end{aligned}$$

$$\begin{aligned}
 \mathbf{A}_k &= \begin{bmatrix} \hat{e} L_{ck} & 2(M_{Ik} - M_{IIk}) \\ \hat{e} M_{Ik} - M_{IIk} & 2(L_{yIk} + L_{yIIk}) \end{bmatrix} \mathbf{B}_k = \begin{bmatrix} \hat{e} M_{Ik} \\ \hat{e} L_{yIk} \end{bmatrix} \\
 \mathbf{i}_k &= \begin{bmatrix} \hat{e} i_{1k} \\ \hat{e} i_{2k} \end{bmatrix} \mathbf{R}\phi = \begin{bmatrix} \hat{e} R_c/2 & 0 \\ \hat{e} 0 & 2R_y \end{bmatrix} \mathbf{R}\phi = \begin{bmatrix} \hat{e} 0 \\ \hat{e} R_y \end{bmatrix} \\
 \mathbf{u}_k &= \begin{bmatrix} \hat{e} u_{ck} \\ \hat{e} u_{yk} \end{bmatrix} \mathbf{C}_k = [M_{Ik} + M_{IIk} \quad 2(L_{yIk} - L_{yIIk})];
 \end{aligned}$$

$\mathbf{D}_k = 2L_{yIk}$, — фазы УШРП.

Соотношения для определения составляющих выражения для расчёта обратной матрицы системы дифференциальных уравнений трёх фаз УШРП 500 кВ с отдельной расщеплённой обмоткой подмагничивания с учётом соединения фаз ОУ в треугольник:

$$\tilde{\mathbf{A}}^{-1} = \begin{bmatrix} \hat{e} A_a^{-1} & 0 & 0 \\ \hat{e} 0 & A_b^{-1} & 0 \\ \hat{e} 0 & 0 & A_c^{-1} \end{bmatrix} \mathbf{B}\phi = \begin{bmatrix} \hat{e} B_a \\ \hat{e} B_b \\ \hat{e} B_c \end{bmatrix}$$

$$\tilde{\mathbf{C}}\phi = [\mathbf{C}\phi \quad \mathbf{C}\phi \quad \mathbf{C}\phi]; \quad \tilde{\mathbf{H}} = \mathbf{H}_a + \mathbf{H}_b + \mathbf{H}_c; \quad (\text{П-3})$$

$$\mathbf{A}_k^{-1} = \frac{1}{a_{6k}} \begin{bmatrix} \hat{e} L_{yIk} + L_{yIIk} & M_{IIk} - M_{Ik} \\ \hat{e} 1 & \hat{e} 1/2 (M_{IIk} - M_{Ik}) \end{bmatrix} \begin{bmatrix} \hat{e} u_c \\ \hat{e} u_y \end{bmatrix}$$

$$\mathbf{B}\phi = \frac{1}{a_{6k}} \begin{bmatrix} \hat{e} a_{2k} \\ \hat{e} a_{4k} \end{bmatrix} \mathbf{C}\phi = \frac{1}{a_{6k}} [a_{2k} \quad \frac{a_{5k}}{2}];$$

$\mathbf{H} = a_{0k}/a_{6k}$; $k = a, b, c$ — фазы УШРП;

$$a_0 = L_c L_{yI} L_{yII} - L_{yI} M_{II}^2 - L_{yII} M_I^2;$$

$$a_2 = L_{yI} M_{II} + L_{yII} M_I;$$

$$a_4 = L_c L_{yI} - M_I (M_I - M_{II});$$

$$a_5 = L_c (L_{yI} - L_{yII}) - (M_I^2 - M_{II}^2);$$

$$a_6 = L_c (L_{yI} + L_{yII}) - (M_I - M_{II})^2.$$

Составляющие системы дифференциальных уравнений фазы УШРП 500 кВ с отдельной расщеплённой обмоткой подмагничивания с учётом бронестержневого магнитопровода:

$$\begin{aligned}
 \mathbf{L} &= \begin{bmatrix} \hat{e} L_c & M_I & M_I & -M_{II} & -M_{II} \\ \hat{e} M_I & L_{yI} & L_{yI} & M_{I-II} & M_{I-II} \\ \hat{e} M_I & L_{yI} & L_{yI} & M_{I-II} & M_{I-II} \\ \hat{e} -M_{II} & M_{I-II} & M_{I-II} & L_{yII} & L_{yII} \\ \hat{e} -M_{II} & M_{I-II} & M_{I-II} & L_{yII} & L_{yII} \end{bmatrix} \\
 \mathbf{R} &= \begin{bmatrix} \hat{e} R_c/2 & 0 & 0 & 0 & 0 \\ \hat{e} 0 & R_y & 0 & 0 & 0 \\ \hat{e} 0 & 0 & R_y & 0 & 0 \\ \hat{e} 0 & 0 & 0 & R_y & 0 \\ \hat{e} 0 & 0 & 0 & 0 & R_y \end{bmatrix} \\
 \mathbf{i} &= \begin{bmatrix} \hat{e} i_c \\ \hat{e} i_{yI1} \\ \hat{e} i_{yI2} \\ \hat{e} i_{yII1} \\ \hat{e} i_{yII2} \end{bmatrix} \mathbf{u} = \begin{bmatrix} \hat{e} u_c \\ \hat{e} u_{yI1} \\ \hat{e} u_{yI2} \\ \hat{e} u_{yII1} \\ \hat{e} u_{yII2} \end{bmatrix} \quad (\text{П-4})
 \end{aligned}$$

где $L_c = w_c^2 Y_c$; $L_{yI} = w_y^2 Y_I$; $L_{yII} = w_y^2 Y_{II}$; $M_I = w_c w_y Y_{c-yI}$; $M_{II} = w_c w_y Y_{c-yII}$; $M_{I-II} = w_y^2 Y_{I-II}$ — собственные и взаимные индуктивности обмоток УШРП.

Составляющие преобразованной с помощью выражения и ввода системы контурных токов системы дифференциальных уравнений УШРП 500 кВ с отдельной расщеплённой обмоткой подмагничивания с учётом бронестержневого магнитопровода:

$$\begin{aligned}
 & \begin{matrix} \dot{e} \\ \dot{e} \\ \dot{e} \\ \dot{e} \end{matrix} \begin{matrix} L_c \\ M_I - M_{II} \\ M_I + M_{II} \\ M_I + M_{II} \end{matrix} \begin{matrix} 2(M_I - M_{II}) \\ 2(L_{\phi I} + L_{\phi II}) \\ 2(L_{\phi I} - L_{\phi II}) \\ 2(L_{\phi I} - L_{\phi II}) \end{matrix} \begin{matrix} 2M_I \dot{u} \\ 2L_{\phi I} \dot{u} \\ 2L_{\phi I} \dot{u} \\ 2L_{\phi I} \dot{u} \end{matrix} \\
 & \mathbf{L} = \begin{matrix} \dot{e} \\ \dot{e} \\ \dot{e} \\ \dot{e} \end{matrix} \begin{matrix} M_I - M_{II} \\ M_I + M_{II} \\ M_I + M_{II} \\ M_I + M_{II} \end{matrix} \begin{matrix} 2(L_{\phi I} + L_{\phi II}) \\ 2(L_{\phi I} - L_{\phi II}) \\ 2(L_{\phi I} - L_{\phi II}) \\ 2(L_{\phi I} - L_{\phi II}) \end{matrix} \begin{matrix} 2L_{\phi I} \dot{u} \\ 2L_{\phi I} \dot{u} \\ 2L_{\phi I} \dot{u} \\ 2L_{\phi I} \dot{u} \end{matrix} \\
 & \begin{matrix} \dot{e} \\ \dot{e} \\ \dot{e} \\ \dot{e} \end{matrix} \begin{matrix} i_1 \\ i_2 \\ i_3 \\ i_4 \end{matrix} \begin{matrix} \dot{u} \\ \dot{u} \\ \dot{u} \\ \dot{u} \end{matrix} \mathbf{R} = \begin{matrix} \dot{e} \\ \dot{e} \\ \dot{e} \\ \dot{e} \end{matrix} \begin{matrix} R_c/2 \\ 0 \\ 0 \\ 0 \end{matrix} \begin{matrix} 0 \\ 2R_y \\ 0 \\ 0 \end{matrix} \begin{matrix} 0 \\ R_y \\ R_y \\ R_y \end{matrix} \begin{matrix} \dot{u} \\ \dot{u} \\ \dot{u} \\ \dot{u} \end{matrix} \mathbf{u} = \begin{matrix} \dot{e} \\ \dot{e} \\ \dot{e} \\ \dot{e} \end{matrix} \begin{matrix} u_c \\ u_y \\ u_y \\ u_k \end{matrix} \dot{u} \quad (\text{П-5})
 \end{aligned}$$

где $L_{\phi I} = L_{yI} + M_{I-II}$; $L_{\phi II} = L_{yII} + M_{I-II}$;
 $L_{\phi I} = L_{yI} - M_{I-II}$.

Соотношения для определения составляющих выражений и для расчёта мгновенного и среднего за период значений тока управления при одной насыщенной и одной ненасыщенной секциях расщеплённого стержня магнитопровода УШРТ 500 кВ с отдельной нерасщеплённой обмоткой подмагничивания и расщеплённой СО без учёта КО:

$$\begin{aligned}
 a_1(D) &= \cos(wD) - m_0 \sin(wD); \\
 a_2(D) &= \sin(wD) + m_0 \cos(wD); \quad m_0 = R_{\text{ЭКВ}} / wL_{\text{ЭКВ1}}; \\
 m_1 &= wL_{\text{ЭКВ1}} / (R_{\text{ЭКВ}}^2 + (wL_{\text{ЭКВ1}})^2); \quad K = K_0 - K_1;
 \end{aligned}$$

$K_0 = M_0 / L_{c0}$; $K_1 = M_1 / L_{c1}$; $t_0 = D$; $i_{y1}(D) = i_{y0}(D)$ – из условия непрерывности функции тока управления;

$$\begin{aligned}
 a_3(D) &= \frac{L_{\text{ЭКВ1}}}{R_{\text{ЭКВ}}} \left(1 - e^{-\frac{R_{\text{ЭКВ}}}{L_{\text{ЭКВ1}}} D} - \frac{R_{\text{ЭКВ}}}{L_{\text{ЭКВ1}}} \frac{D}{T/2} - \frac{R_{\text{ЭКВ}}}{L_{\text{ЭКВ1}}} \frac{D}{T/2} \right) \frac{\dot{u}}{L_{\text{ЭКВ1}}} \frac{\ddot{u}}{\dot{u}} \\
 a_4(D) &= \frac{L_{\text{ЭКВ0}}}{R_{\text{ЭКВ}}} - \frac{L_{\text{ЭКВ0}} - L_{\text{ЭКВ1}}}{R_{\text{ЭКВ}}} e^{-\frac{R_{\text{ЭКВ}}}{L_{\text{ЭКВ1}}} D} - \frac{R_{\text{ЭКВ}}}{L_{\text{ЭКВ1}}} \frac{D}{T/2} + \frac{R_{\text{ЭКВ}}}{L_{\text{ЭКВ1}}} \frac{D}{T/2} \frac{\dot{u}}{\dot{u}} \\
 a_5(D) &= \frac{1}{m_0} \left(1 - e^{-\frac{R_{\text{ЭКВ}}}{L_{\text{ЭКВ1}}} (T/2 - D)} \right) \frac{\dot{u}}{\dot{u}} \quad (\text{П-6})
 \end{aligned}$$

Аналитические выражения для токов секций СО УШРТ 500 кВ с отдельной нерасщеплённой обмоткой подмагничивания и расщеплённой СО без учёта КО для четырёх интервалов времени, записанные на основе выражения (16):

$$\begin{aligned}
 i_{cI0}(t) &= i_{cI0}(0) - \frac{U_{cm}}{wL_{c0}} [\cos(wt + y) - \cos(y)] - K_0 [i_{y0}(t) - i_{y0}(0)]; \\
 i_{cII0}(t) &= i_{cII0}(0) - \frac{U_{cm}}{wL_{c0}} [\cos(wt + y) - \cos(y)] + K_0 [i_{y0}(t) - i_{y0}(0)];
 \end{aligned}$$

$$\begin{aligned}
 i_{cI1}(t) &= i_{cI1}(0) - \frac{U_{cm}}{wL_{c0}L_{c1}} [L_{c0} \cos(wt + y) - (L_{c0} - L_{c1}) \cos(wD + y) - L_{c1} \cos(y)] - [K_1 i_{y1}(t) + K_{iy0}(D) - K_0 i_{y0}(0)]; \\
 i_{cII1}(t) &= i_{cII1}(0) - \frac{U_{cm}}{wL_{c0}} [\cos(wt + y) - \cos(y)] + K_0 [i_{y1}(t) - i_{y0}(0)]; \\
 \tilde{i}_{cI0}(t) &= i_{cI0}(0) - \frac{U_{cm}}{wL_{c0}L_{c1}} [L_{c1} \cos(wt + y) - (L_{c0} - L_{c1}) \cos(wD + y) - L_{c0} \cos(y)] - [K_0 i_{y0}(t) - \frac{T}{2} \frac{\ddot{u}}{\dot{u}} + K_{iy0}(D) + (K_1 - 2K_0) i_{y0}(0)]; \\
 \tilde{i}_{cII0}(t) &= i_{cII0}(0) - \frac{U_{cm}}{wL_{c0}} [\cos(wt + y) - \cos(y)] + K_0 [i_{y0}(t) - \frac{T}{2} \frac{\ddot{u}}{\dot{u}} - i_{y0}(0)]; \\
 i_{cI10}(t) &= i_{cI10}(0) - \frac{U_{cm}}{wL_{c0}L_{c1}} [L_{c1} \cos(wt + y) - (L_{c0} - L_{c1}) \cos(wD + y) - L_{c0} \cos(y)] - [K_0 i_{y0}(t) - \frac{T}{2} \frac{\ddot{u}}{\dot{u}} + K_{iy0}(D) + (K_1 - 2K_0) i_{y0}(0)]; \\
 \tilde{i}_{cII1}(t) &= i_{cII1}(0) - \frac{U_{cm}}{wL_{c0}} [\cos(wt + y) - \cos(y)] + (L_{c0} - L_{c1}) \cos(wD + y) - L_{c0} \cos(y) + [K_1 i_{y1}(t) - \frac{T}{2} \frac{\ddot{u}}{\dot{u}} + K_{iy0}(D) - K_0 i_{y0}(0)];
 \end{aligned} \quad (\text{П-7})$$

где $i_{y1}(D) = i_{y0}(D)$; $i_{y1}(T/2) = i_{y0}(0)$; $\tilde{i}_{cI1}(D) = i_{cI0}(D)$; $\tilde{i}_{cI0}(T/2) = i_{cI1}(T/2)$; $\tilde{i}_{cII1}(T/2 + D) = \tilde{i}_{cII0}(T/2D)$ – из условия непрерывности функций токов.

Выражения для определения составляющих уравнения относительно фазового сдвига сетевых напряжения и тока УШРТ 500 кВ с отдельной нерасщеплённой обмоткой подмагничивания и расщеплённой СО без учёта КО:

$$\begin{aligned}
 A(D) &= a_7(D) \sin(wD) + K m_1 a_6(D) [m_0 + a_2(D)] \exp(-R_{\text{ЭКВ}}(T/2 - D)L_{\text{ЭКВ1}}); \\
 B(D) &= a_7(D) [1 + \cos(wD)] + K m_1 a_6(D) [1 + a_1(D)] \exp(-R_{\text{ЭКВ}}(T/2 - D)L_{\text{ЭКВ1}}); \\
 C(D) &= \frac{a_6(D)}{U_{cm}} \left(1 - e^{-\frac{R_{\text{ЭКВ}}}{L_{\text{ЭКВ1}}} D} - \frac{R_{\text{ЭКВ}}}{L_{\text{ЭКВ1}}} \frac{D}{T/2} - \frac{R_{\text{ЭКВ}}}{L_{\text{ЭКВ1}}} \frac{D}{T/2} \right) \frac{\dot{u}}{L_{\text{ЭКВ1}}} \frac{\ddot{u}}{\dot{u}} \\
 a_7(D) &= m_0 \left(1 - e^{-\frac{R_{\text{ЭКВ}}}{L_{\text{ЭКВ0}}} D} - \frac{R_{\text{ЭКВ}}}{L_{\text{ЭКВ0}}} \frac{D}{T/2} - \frac{R_{\text{ЭКВ}}}{L_{\text{ЭКВ0}}} \frac{D}{T/2} \right) \frac{\dot{u}}{\dot{u}} \quad (\text{П-8})
 \end{aligned}$$

Выводы. 1. Использование разработанных численно-аналитических моделей УШРП 500 кВ в стандартных пакетах прикладных программ моделирования электрических цепей позволяет повысить устойчивость и точность численного моделирования, а также уменьшить время расчёта.

2. Разработанная аналитическая модель УШРП 500 кВ с отдельной обмоткой подмагничивания без учёта компенсационной обмотки позволяет получать кривые токов и напряжений любого установившегося режима работы реактора.

3. Верификация расчетных моделей УШРП с использованием результатов системных испытаний реактора аналогичной конструкции в статических и динамических режимах работы, полностью охватывающих весь рабочий диапазон УШРП, показала высокую достоверность разработанных моделей.

СПИСОК ЛИТЕРАТУРЫ

1. **Управляемые** подмагничиванием электрические реакторы (Сб. статей)/Под ред. А.М. Брянцева. — М.: Знак, 2004.
2. **Мастрюков Л.А.** Новая концепция проектирования управляемого шунтирующего реактора с магнитным регулированием мощности для ЛЭП СВН 550, 800, 1100 кВ. — Сб. докладов IX симпозиума «Электротехника 2030. Перспективные технологии электроэнергетики» — М.: Международная ассоциация ТРАВЭК (ВЭИ), 2007, доклад 2.41.
3. **Лучко А.Р., Ебадиан М.** Принципы математического моделирования динамических процессов в управляемых подмагничиванием шунтирующих реакторах в SimPowerSystems (Matlab). — Электричество, 2008, № 3.
4. **Гусев С.И., Столяров Е.И., Мустафа Г.М. и др.** Модель управляемого подмагничиванием реактора для расчета электромагнитных процессов в линиях электропередачи. — Электричество, 2010, № 6.
5. **Карпов В.Н., Киселёв А.Н.** Разработка модели управляемого подмагничиванием шунтирующего реактора. — Материалы II Всероссийской конф. по итогам конкурса молодых специалистов инженерингового профиля в области электроэнергетики (секция II). — Дивноморск, 2007.
6. **Карпов В.Н.** Разработка расчётной модели управляемого подмагничиванием шунтирующего реактора. — Материалы Шестнадцатой международной научно-технической конференции студентов и аспирантов «Радиоэлектроника, электротехника и энергетика», т. 3. — М., 2010.
7. **Гусев С.И., Карпов В.Н., Киселёв А.Н., Кочкин В.И.** Результаты системных испытаний шинного управляемого шунтирующего реактора 500 кВ на подстанции «Таврическая». — Электрические станции, 2009, № 7.
8. **Лейтес Л.В.** Электромагнитные расчёты трансформаторов и реакторов. — М.: Энергия, 1981.
9. **Гантмахер Ф.Р.** Теория матриц. — М.: Наука, 1966.

[04.04.12]

Авторы: Карпов Виктор Николаевич окончил электроэнергетический факультет Московского энергетического института (МЭИ) в 2007 г. Старший научный сотрудник Центра надёжности и режимов работы электрических сетей ОАО «НТЦ ФСК ЕЭС».

Киселёв Алексей Николаевич окончил электротехнический факультет МЭИ в 2003 г. В 2006 г. защитил кандидатскую диссертацию «Разработка математических моделей управляющих элементов электрических цепей для решения задач оптимизации». Начальник Центра надёжности и режимов работы электрических сетей ОАО «НТЦ ФСК ЕЭС».

* * *

Вниманию предприятий, организаций, НИИ, вузов России и зарубежных фирм!

Журнал «Электричество» предоставляет свои страницы для

- РЕКЛАМЫ ИЗДЕЛИЙ отечественных предприятий и зарубежных фирм в области энергетики, электротехники, электроники, автоматики
- ПУБЛИКАЦИИ ОБЪЯВЛЕНИЙ о научных симпозиумах, конференциях, совещаниях, семинарах
- ДРУГОЙ ИНФОРМАЦИИ, соответствующей тематике журнала

Сообщаем, что журнал поступает к зарубежным подписчикам во многих странах мира.

Напоминаем наш адрес: 101000 Москва, Главпочтамт, а/я 648.

Тел./факс (7-495)362-7485